

ESPECIFICAÇÃO  
LATITUDE Link™ IDCO

**Sistema LATITUDE Link™**

Outdated version. Do not use.  
Version überholt. Nicht verwenden.  
Version obsolète. Ne pas utiliser.  
Versión obsoleta. No utilizar.  
Versione obsoleta. Non utilizzare.  
Verouderde versie. Niet gebruiken.  
Föråldrad version. Använd ej.  
Παλιά έκδοση. Μην την χρησιμοποιείτε.  
Versão obsoleta. Não utilize.  
Forældet version. Må ikke anvendes.  
Zastaralá verze. Nepoužívat.  
Utdatert versjon. Skal ikke brukes.  
Zastaraná verzia. Nepoužívať.  
Elavult verzió. Ne használja!  
Wersja nieaktualna. Nie używać.

Outdated version. Do not use.  
Version überholt. Nicht verwenden.  
Version obsolète. Ne pas utiliser.  
Versión obsoleta. No utilizar.  
Versione obsoleta. Non utilizzare.  
Verouderde versie. Niet gebruiken.  
Föråldrad version. Använd ej.  
Παλιά έκδοση. Μην την χρησιμοποιείτε.  
Versão obsoleta. Não utilize.  
Forældet version. Må ikke anvendes.  
Zastaralá verze. Nepoužívat.  
Utdatert versjon. Skal ikke brukes.  
Zastaraná verzia. Nepoužívať.  
Elavult verzió. Ne használja!  
Wersja nieaktualna. Nie używać.

# ÍNDICE REMISSIVO

<b>Resumo</b> .....	<b>1</b>
<b>Especificação da Mensagem IDCO</b> .....	<b>1</b>
Estrutura dos Segmentos .....	1
Estrutura do segmento MSH .....	1
Estrutura do segmento PID .....	2
Estrutura do segmento PV1 .....	2
Estrutura do segmento OBR .....	2
Estrutura do segmento OBX .....	3
Estrutura do segmento NTE .....	3
Relatório do dispositivo .....	3
Termos de Base .....	4
<b>Conversão de dados do dispositivo implantado em mensagens IDCO</b> .....	<b>8</b>
Estado da bateria .....	8
Tipo de sensor de bradi .....	8
Mapeamento de Episódios .....	8
Mapeamento de contadores de episódios .....	9
Mapeamento da Configuração do Electrocateter .....	10
Limitações do Sistema .....	11
Informações do estado do dispositivo .....	11
Relatórios .....	11
<b>Ficheiros IDCO de exemplo</b> .....	<b>12</b>

Outdated version. Do not use.  
Version überholt. Nicht verwenden.  
Version obsolète. Ne pas utiliser.  
Versión obsoleta. No utilizar.  
Versione obsoleta. Non utilizzare.  
Verouderde versie. Niet gebruiken.  
Föråldrad version. Använd ej.  
Παλιά έκδοση. Μην την χρησιμοποιείτε.  
Versão obsoleta. Não utilize.  
Forældet version. Må ikke anvendes.  
Zastaralá verze. Nepoužívat.  
Utdatert versjon. Skal ikke brukes.  
Zastaraná verzia. Nepoužívať.  
Elavult verzió. Ne használja!  
Wersja nieaktualna. Nie używać.

## Resumo

O sistema LATITUDE Link™ da Boston Scientific gera mensagens de Observação cardíaca de dispositivo implantável (IDCO), de acordo com as especificações e definições publicadas neste documento. Estas mensagens estão em conformidade com o perfil Integrating the Healthcare Enterprise (IHE) Patient Care Device (PCD) Technical Framework IDCO e são utilizadas para fornecer dados do paciente aos sistemas de registos médicos eletrónicos (EMR).

Este documento destina-se aos clientes da Boston Scientific (BSC) que (1) integram mensagens IDCO num EMR e (2) utilizam um EMR para controlar e gerir os dados dos pacientes. A primeira secção deste documento («Especificação da Mensagem IDCO») destina-se sobretudo ao pessoal técnico envolvido na integração de mensagens, enquanto a segunda secção se destina sobretudo ao médico como esclarecimento adicional da versão da Boston Scientific dos dados incluídos na mensagem.

**OBSERVAÇÃO:** Assume-se que os leitores desta secção estão familiarizados com a terminologia HL7 e IDCO, sintaxe da especificação, tipos de dados, estruturas das mensagens e semântica das mensagens IDCO. Para mais informações, ver:

- [www.hl7.org](http://www.hl7.org) para mensagens HL7
- [www.ihe.net](http://www.ihe.net) para mensagens IDCO
- [http://ihe.net/Technical\\_Framework/index.cfm#pcd](http://ihe.net/Technical_Framework/index.cfm#pcd) for PCD-09 Technical Framework (composto pelos volumes 1, 2 e 3)
- <http://standards.ieee.org/findstds/standard/11073-10103-2012.html> para nomenclatura IEEE IDCO

## Especificação da Mensagem IDCO

A mensagem IDCO é uma mensagem PCD-09 de acordo com o IHE PCD Technical Framework Revision 3.0, October 11, 2013. Segundo o quadro técnico, a mensagem é uma mensagem padrão não solicitada de observações e pedidos do HL7 v2.6 contendo observações efetuadas pelo dispositivo implantado e codificadas utilizando a nomenclatura ISO/IEEE 11073-10103:2014 IDC. Esta norma internacional descreve um modelo universal de interoperabilidade dos dados eletrónicos médicos.

Os valores entre aspas que constam nas colunas de valores nas tabelas que se seguem indicam valores codificados que aparecerão sempre conforme apresentado. Os valores sem aspas indicam um exemplo ou uma descrição do valor.

## Estrutura dos Segmentos

Todos os dados enviados estão em conformidade com o PCD-09. As informações incluídas nesta secção visam definir a produção de mensagens IDCO da BSC. Não são exaustivas nem visam definir mais pormenorizadamente a nomenclatura IDCO.

## Estrutura do segmento MSH

O segmento MSH contém informações sobre o emissor e o recetor da mensagem, o tipo de mensagem, um carimbo de data/hora, etc. É o primeiro segmento da mensagem IDCO.

NOME DO ELEMENTO	SEQ	SUB SEQ	VALOR
Aplicação de envio	3		«LATITUDE Link»
Instalação de envio	4		«BOSTON SCIENTIFIC»
Instalação de receção	6		Nome do centro
Conjunto de caracteres	18		«UNICODE UTF-8»

## Estrutura do segmento PID

O segmento PID contém informações de identificação do paciente, tal como o nome, códigos de identificação, código postal, etc. Estas informações são utilizadas para confirmação do paciente.

NOME DO ELEMENTO	SEQ	SUB SEQ	VALOR
ID do espaço de nomes	3	4	«BSX»

## Estrutura do segmento PV1

O segmento PV1 (Visita do paciente) contém informações acerca do médico assistente do paciente.

NOME DO ELEMENTO	SEQ	SUB SEQ	VALOR
Classe de paciente	2		«R»

## Estrutura do segmento OBR

Os segmentos OBR são os cabeçalhos de secção para os segmentos de informações referentes a interrogações OBX individuais. Contêm dados como carimbos de data/hora, identificador de relatórios e um identificador único gerado no sistema.

NOME DO ELEMENTO	SEQ	SUB SEQ	VALOR DE EXEMPLO
Identificador de serviço universal	4		
Identificador		1	754050
Texto		2	Ver observação 1
N.º de data/hora da observação	7		20060429080005 Ver observação 2
Estado do Resultado	25		«F» Ver observação 3

## Observações OBR

1. O texto do identificador de serviço universal terá o formato MDC\_IDC\_ENUM\_SESS\_TYPE\_{tipo de sessão} (p. ex., MDC\_IDC\_ENUM\_SESS\_TYPE\_InClinic).
2. A data/hora da observação será o carimbo de data/hora de ocorrência da interrogação do dispositivo implantado. O carimbo de data/hora de uma interrogação no centro indicará a hora fornecida pelo PRM.
3. O estado do resultado será «F» (resultados finais)

## Estrutura do segmento OBX

Os segmentos OBX contêm dados reunidos durante a interrogação mais recente do dispositivo.

NOME DO ELEMENTO	SEQ	SUB SEQ	VALOR DE EXEMPLO
Estado do resultado da observação	11		«F» Ver observação 1
Data/Hora da observação	14		20060317 Ver observação 2

## Observações OBX

1. O estado do resultado será «F» (resultados finais).
2. A data da medição será incluída se a mesma diferir da data de observação no OBR.

## Parâmetros de Produção

- As cadeias serão enviadas no idioma configurado.
- Os valores numéricos serão sempre enviados utilizando o ponto «.» como o ponto de base (ou seja, ponto decimal).

## Estrutura do segmento NTE

- Dispositivos S-ICD
  - O primeiro NTE conterá a informação de definições num formato *rótulo: valor* com cada definição separada por uma quebra de linha (\.br\). Exemplo:  
NTE|1||Configuração de detecção: Primário\.br\Definição de ganho: 2X\.br\Estimulação pós-choque: LIGAR
  - Se houver informação do estado do dispositivo, todo o estado do dispositivo estará no segundo NTE. Exemplo:  
NTE|2||Dispositivo requer atenção imediata.\.br\|.br\Contacte a Boston Scientific - BD.\.br\|.br\Continente Americano: 1.800.CARDIAC (227.3422) ou +1.651.582.4000\.br\Europa, Médio Oriente, África: +32 2 416 7222\.br\Ásia Pacífico: +61 2 8063 8299
- Todos os outros dispositivos
  - Se houver informação do estado do dispositivo, haverá um NTE para cada estado do dispositivo.

## Relatório do dispositivo

- Poderá ser incluído um único PDF com um ou mais relatórios do dispositivo na mensagem num único OBX.

## Termos de Base

A tabela que se segue enumera os termos de nomenclatura que podem ser incluídos numa mensagem IDCO da BSC.

<b>PREFIXO MDC_IDC_DEV</b>	<b>Dispositivo cardíaco implantável</b>
_TYPE	Tipo
_MODEL	Modelo
_SERIAL	Número de série
_MFG	Fabricante
_IMPLANT_DT	Data do implante
<b>PREFIXO MDC_IDC_LEAD</b>	<b>Atributos do electrocateter implantável</b>
_MODEL	Modelo
_SERIAL	Número de série
_MFG	Fabricante
_IMPLANT_DT	Data do implante
_POLARITY_TYPE	Tipo de polaridade
_LOCATION	Localização
_LOCATION_DETAIL_1	Detalhe 1 da localização
<b>PREFIXO MDC_IDC_SESS</b>	<b>Sessão de interrogação</b>
_DTM	Data/Hora da sessão de interrogação
_TYPE	Tipo de sessão de interrogação
_CLINIC_NAME	Nome do centro
_CLINICIAN_CONTACT_INFORMATION	Informações de contacto do médico
<b>PREFIXO MDC_IDC_MSMT</b>	<b>Medições</b>
<b>_BATTERY</b>	<b>Medições da bateria</b>
_DTM	Data/Hora das medições
_BATTERY_STATUS	Estado
_BATTERY_REMAINING_LONGEVITY	Longevidade restante
_BATTERY_REMAINING_PERCENTAGE	Percentagem restante
<b>_CAP</b>	<b>Medições</b>
_CHARGE_DTM	Data/Hora da última carga
_CHARGE_TIME	Tempo de carga
_CHARGE_TYPE	Tipo de carga
_CHARGE_ENERGY	Energia de carga
<b>_LEADCHNL_[CHAMBER]</b>	<b>Medições do canal do electrocateter</b>
_DTM_[STRTEND]	Data e Hora das medições
_LEAD_CHANNEL_STATUS	Estado



<b>PREFIXO MDC_IDC_MSMT</b>	<b>Medições</b>
<b>_LEADCHNL_[CHAMBER]_SENSING</b>	<b>Medições de detecção do canal do electrocateter</b>
_INTR_AMPL_[MMM]	Amplitude intrínseca de detecção
_POLARITY	Polaridade de detecção
<b>_LEADCHNL_[CHAMBER]_PACING_THRESHOLD</b>	<b>Medições do limiar de estimulação do canal do electrocateter</b>
_AMPLITUDE	Amplitude
_PULSEWIDTH	Largura do impulso
_MEASUREMENT_METHOD	Método de medição
_POLARITY	Polaridade
<b>_LEADCHNL_[CHAMBER]_IMPEDANCE</b>	<b>Medições de impedância do canal do electrocateter</b>
_VALUE	Valor
_POLARITY	Polaridade
<b>_LEADHVCHNL</b>	<b>Medições do canal de alta tensão do electrocateter</b>
_DTM_[STRT]	Data hora
_IMPEDANCE	Impedância
_MEASUREMENT_TYPE	Tipo de medição
_STATUS	Status
<b>PREFIXO MDC_IDC_SET</b>	<b>Definições</b>
<b>_CRT</b>	<b>Definições de CRT</b>
LVRV_DELAY	Intervalo VE-VD
_PACED_CHAMBERS	Câmaras ventriculares estimuladas durante a estimulação de CRT
<b>_LEADCHNL_[CHAMBER]_SENSING</b>	<b>Definições do canal do electrocateter</b>
_SENSITIVITY	Sensibilidade
_POLARITY	Polaridade
_ANODE_LOCATION_[1..3]	Localização de ânodo
_ANODE_ELECTRODE_[1..3]	Terminal de ânodo
_CATHODE_LOCATION_[1..3]	Localização de cátodo
_CATHODE_ELECTRODE_[1..3]	Terminal de cátodo
_ADAPTATION_MODE	Modo de adaptação
<b>_LEADCHNL_[CHAMBER]_PACING</b>	<b>Definições de estimulação do canal do electrocateter</b>
_AMPLITUDE	Amplitude
_PULSEWIDTH	Largura do impulso
_PACING_POLARITY	Polaridade
_ANODE_LOCATION_[1..3]	Localização de ânodo
_ANODE_ELECTRODE_[1..3]	Terminal de ânodo

<b>_LEADCHNL_[CHAMBER]_PACING</b>	<b>Definições de estimulação do canal do electrocateter</b>
_CATHODE_LOCATION_[1..3]	Localização de cátodo
_CATHODE_ELECTRODE_[1..3]	Terminal de cátodo
_CAPTURE_MODE	Modo de captura
<b>_BRADY</b>	<b>Definições de Brady</b>
_MODE	Modo (código NBG)
_LOWRATE	Limite inferior de frequência
_SENSOR_TYPE	Tipo de sensor
_MAX_TRACKING_RATE	Frequência máxima de condução
_MAX_SENSOR_RATE	Frequência máxima do sensor
_SAV_DELAY_[HIGHLOW]	Intervalo SAV
_PAV_DELAY_[HIGHLOW]	Intervalo PAV
_AT_MODE_SWITCH_MODE	Modo de comutação do modo de TA
_AT_MODE_SWITCH_RATE	Frequência de comutação do modo de TA
<b>_TACHYTHERAPY</b>	<b>Definições da terapêutica de taqui</b>
_VSTAT	Estado ventricular
<b>_ZONE</b>	<b>Definições de zona</b>
_TYPE	Categoria de tipo
_VENDOR_TYPE	Categoria de tipo de fornecedor
_STATUS	Estado
_DETECTION_INTERVAL	Intervalo de detecção
_DETECTION_DETAILS	Detalhes de detecção
_TYPE_ATP_[1..10]	Tipo ATP
_NUM_ATP_SEQS_[1..10]	Número de sequências de ATP
_SHOCK_ENERGY_[1..10]	Energia de choque
_NUM_SHOCKS_[1..10]	Número de choques
<b>PREFIXO MDC_IDC_STAT</b>	<b>Estatísticas</b>
_DTM_[STRTEND]	Estatísticas de data/hora
<b>_AT</b>	<b>Estatísticas de taquicardia auricular</b>
_DTM_[STRTEND]	Data hora
_BURDEN_PERCENT	Porcentagem de Carga TA/FA
<b>_BRADY</b>	<b>Estatísticas de Brady</b>
_DTM_[STRTEND]	Data hora
_RA_PERCENT_PACED	% estimulada AD
_BRADY_RV_PERCENT_PACED	% estimulada VD

<b>_CRT</b>	<b>Estatísticas de CRT</b>
_DTM_[STRTEAD]	Data hora
_LV_PERCENT_PACED	Percentagem estimulação VE
<b>PREFIXO MDC_IDC_STAT</b>	<b>Estatísticas</b>
<b>_TACHY THERAPY</b>	<b>Estatísticas de terapêutica de taqui</b>
_SHOCKS_DELIVERED_RECENT	Choques aplicados recentes
_RECENT_DTM_[STRTEAD]	Data/Hora recente
_SHOCKS_DELIVERED_TOTAL	Choques aplicados totais
_TOTAL_DTM_[STRTEAD]	Data/Hora total
_SHOCKS_ABORTED_RECENT	Choques abortados recentes
_SHOCKS_ABORTED_TOTAL	Choques abortados totais
_ATP_DELIVERED_RECENT	ATP administrada recente
_ATP_DELIVERED_TOTAL	ATP administrada total
<b>_EPISODE</b>	<b>Estatísticas de episódio</b>
_TYPE	Categoria de tipo
_TYPE_INDUCED	Tipo induzido
_VENDOR_TYPE	Categoria de tipo de fornecedor
_RECENT_COUNT	Contagem recente
_RECENT_COUNT_DTM_[STRTEAD]	Data/Hora recente
_TOTAL_COUNT	Contagem total
_TOTAL_COUNT_DTM_[STRTEAD]	Data/Hora total
<b>PREFIXO MDC_IDC_EPISODE</b>	<b>Episódio</b>
_ID	Identificador
_DTM	Data hora
_TYPE	Categoria de tipo
_TYPE_INDUCED	Sinalizador de tipo induzido
_VENDOR_TYPE	Categoria de tipo de fornecedor
_ATRIAL_INTERVAL_AT_DETECTION	Detecção do intervalo auricular
_VENTRICULAR_INTERVAL_AT_DETECTION	Detecção do intervalo ventricular
_DETECTION_THERAPY_DETAILS	Detalhes da terapêutica e detecção
_DURATION	Duração

# Conversão de dados do dispositivo implantado em mensagens IDCO

## Estado da bateria

As enumerações para os parâmetros da bateria estão associadas ao estado da bateria da BSC como se segue:

BSC ESTADO DA BATERIA (S-ICD Dispositivos)	BSC ESTADO DA BATERIA (Todos os outros dispositivos)	ESTADO DA BATERIA DA IDCO
>10% restante para ERI	BOL	BOS
<= 10% restante para ERI	OY	MOS
ERI	ERI	RRT
EOL	EOL	EOS

## Tipo de sensor de bradi

O tipo de sensor de bradi será enviado conforme apresentado na tabela abaixo.

VALOR ENVIADO PARA A VARIÁVEL SET_BRADY_SENSOR_TYPE COM BASE NA CONFIGURAÇÃO DO DISPOSITIVO IMPLANTADO	DEFINIÇÃO DO DISPOSITIVO IMPLANTADO
«Acelerómetro»	Apenas acelerómetro
«Ventilação-minuto»	Apenas VM
«Acelerómetro + VM»	Acelerómetro e VM

Os valores acima apresentados só serão enviados se a frequência puder ser acionada pelo sensor (ou seja, não serão enviados se o sensor estiver num estado de monitorização exclusiva).

Os valores acima apresentados serão enviados se a frequência puder ser acionada no modo brady normal ou em ATR (ou seja, o valor não reflete apenas o modo brady normal).

Importa notar que os relatórios podem apresentar «Apenas ATR» quando o modo ATR for um modo de resposta de frequência e o modo brady normal for um modo sem resposta de frequência. Nesse caso, o texto (por ex., «Acelerómetro») continuará a ser enviado para o modo ATR. O utilizador pode observar o modo brady e o modo ATR e determinar que a resposta de frequência é apenas para ATR.

## Mapeamento de Episódios

Os episódios, contadores, etc., serão enviados em função das informações contidas na interrogação. As mesmas informações serão enviadas inicialmente e num reenvio subsequente mesmo que existam interrogações pelo meio. Os episódios são representados por uma combinação de tipos normativos e específicos de fornecedores. Alguns tipos de episódios da Boston Scientific não podem ser representados exclusivamente na nomenclatura IDCO actual.

ID DE EPISÓDIO DA BSC	TIPO DE EPISÓDIO DA BSC	TIPO DE EPISÓDIO NORMATIVO DA IDCO	TIPO DE EPISÓDIO ESPECÍFICO DO FORNECEDOR DA IDCO
<número do episódio>	Tratado	VF	BSX-Zone_VF
<número do episódio>	Não tratado	Outro	Ver <b>observação 1</b>

**Nota 1:** O tipo de episódio específico do fornecedor do OBX estará na mensagem com um valor de observação em branco.

## Mapeamento de contadores de episódios

Os contadores de episódios são representados por uma combinação de tipos normativos e específicos de fornecedores. Alguns contadores da Boston Scientific não podem ser representados exclusivamente na nomenclatura IDCO atual. Os valores dos contadores enviados irão incluir aqueles desde o último seguimento e desde o implante.

CONTADOR DE EPISÓDIOS DA BSC	TIPO DE EPISÓDIO NORMATIVO DE ESTATÍSTICAS DA IDCO	TIPO DE EPISÓDIO ESPECÍFICO DO FORNECEDOR DE ESTATÍSTICAS DA IDCO
Tratado	VF	BSX-Epis_VF
Não tratado	Outro	Ver <b>observação 1</b>
VT (V>A)	VT	BSX-Epis_VT
Taqui	VT	BSX-Epis_VT
Não mant.	VT	BSX-Epis_NSVT
V não mant.	VT	BSX-Epis_NSVT
TSV (V≤A)	TSV	BSX-Epis_SVT
ATR	TA/FA	BSX-Epis_ATR
MRI	Outro	Nenhum
VF	VF	BSX-Epis_VF
VT	VT	BSX-Epis_VT
VT-1	VT	BSX-Epis_VT-1
Sem Terapêutica Programada	Monitor	Nenhum
Outros Episódios Não Tratados	Outro	Nenhum

**Nota 1:** A estatística do contador específico do fornecedor do OBX estará na mensagem com um valor de observação em branco.

## Mapeamento da Configuração do Electrocateter

A tabela abaixo mostra como a IDCO e a BSC definem electrocateteres com vários eléctrodos. Esta tabela não pretende constituir uma lista exaustiva, incluindo apenas as enumerações que podem não ser óbvias.

As definições utilizadas pela BSC foram concebidas para serem consistentes com o Programador/Registador/Monitor (PRM) e o website LATITUDE.

NOME DOS ELÉCTRODOS DA BSC	LOCALIZAÇÃO DOS ELÉCTRODOS DA IDCO	NOME DOS ELÉCTRODOS DA IDCO
Caixa	Outra	Caixa
PontaVE1	VE	Ponta
AnelVE2	VE	Anel1
AnelVE3	VE	Anel2
AnelVE4	VE	Anel3

MDC\_IDCO\_ENUM\_ELECTRODE\_LOCATION (localização do cátodo/ânodo de detecção/estimulação) não inclui atualmente uma enumeração para a bolsa (ou seja, caixa). A localização será enviada como «outra» e o eléctrodo como «caixa».

O estado «verificar eléctrodo» indica um potencial problema do electrocateter; contudo, a ausência de um estado «verificar eléctrodo» não indica o bom funcionamento de um electrocateter. O estado «verificar eléctrodo» será enviado se estiver presente algum dos indicadores de estado que se seguem:

- Dispositivos S-ICD
  - Impedância de eléctrodo alta
- Todos os outros dispositivos
  - Interruptor de segurança do electrocateter
  - Impedância fora do intervalo
  - Amplitude fora do intervalo
  - Impedância de choque baixa
  - Impedância de choque alta
  - Alta tensão durante a carga
  - Limiar automático em suspensão ou limiar superior ao programado

Para MSMT\_LEADCHNL\_[CHAMBER] (ou seja, medições do canal do electrocateter, como amplitude intrínseca, impedância do electrocateter, limiar de estimulação), só é possível um intervalo de carimbo de data/hora para todas as medições (ou seja, não é possível um intervalo por medição) na nomenclatura IDCO atual. Se os tempos de medição forem diferentes, será enviado um intervalo de carimbo de data/hora (ou seja, MIN, MAX) que inclua o tempo de todas as medições. Além disso, os valores que serão enviados serão valores IDCO MEAN de acordo com a nomenclatura IDCO. Contudo, os valores são medições únicas e não valores médios no intervalo de carimbo de data/hora.

## Limitações do Sistema

- A nomenclatura IDCO não define todos os dados disponíveis no dispositivo implantável. Alguns dados indefinidos poderão ser enviados através da representação mais próxima disponível na IDCO. Por exemplo:
  - As informações relativas à zona VT são enviadas para os dispositivos de bradi como se tivessem uma zona VT.
  - Para os dispositivos S-ICD, a zona do choque é enviada como zona VF e a zona do choque condicional é enviada como zona VT.
  - As medições do electrocateter contidas na mensagem incluirão medições de acordo com a seguinte prioridade:
    1. Medição no consultório
    2. Medição diária mais recente
    3. Medição TSPO
- O relato correto dos dados do dispositivo implantado e as notificações do estado do dispositivo dependem da correta programação do relógio do dispositivo implantado com um Programador. O relato correto pode continuar a ter repercussões durante algum tempo após a correta programação do relógio do dispositivo implantado, de acordo com a quantidade de dados recebida com informações de tempo incorretas e a diferença de tempo do erro do relógio do dispositivo implantado.
- As cadeias serão enviadas no idioma configurado para o centro.

## Informações do estado do dispositivo

As informações do estado do dispositivo do PG incluídas na mensagem como observações que podem ou não ser apresentadas num EMR.

## Relatórios

### Relatório do dispositivo

Poderá ser incluído um único PDF com um ou mais relatórios do dispositivo na mensagem com base na configuração da aplicação do LATITUDE Link.

## Ficheiros IDCO de exemplo

Os seguintes ficheiros IDCO de exemplo mostram o aspeto que uma mensagem IDCO da Boston Scientific pode ter. Estes são apenas dois exemplos entre muitos resultados possíveis. Os dados das mensagens de exemplo são hipotéticos e nem todos os termos IDCO são representados.

### Mensagem de exemplo 1—dispositivo S-ICD

```
MSH|^~\&|LATITUDE Link|BOSTON SCIENTIFIC||Clinic
Name|201407151441+0000||ORU^R01^ORU_R01|26000320140715144112|P|2.6|||||UNICODE UTF-
8|pt^Portuguese||IHE_PCD_009^IHE_PCD^1.3.6.1.4.1.19376.1.6.1.9.1^ISO
PID|1||model:1010/serial:474^^^BSX^U||Smith^John||U
PV1|1|R
OBR|1||G21234|754050^MDC_IDC_ENUM_SESS_TYPE_InClinic^MDC|||201311260000-
0600|||||||||||||F
NTE|1||Configuração de detecção: Alternado\br\Definição de ganho: 1X\br\Estimulação
pós-choque: LIGAR
NTE|2||O dispositivo exige atenção imediata.\br\br\Contacte a Boston Scientific -
BD.\br\br\América: 1.800.CARDIAC (227.3422) ou +1.651.582.4000\br\Europa, Médio
Oriente, África: +32 2 416 7222\br\Ásia-Pacífico: +61 2 8063 8299
OBX|1|DTM|721025^MDC_IDC_SESS_DTM^MDC||201311260000-0600|||||F
OBX|2|CWE|721026^MDC_IDC_SESS_TYPE^MDC||754050^MDC_IDC_ENUM_SESS_TYPE_InClinic^MDC|||
||F
OBX|3|ST|721031^MDC_IDC_SESS_CLINICIAN_NAME^MDC||Dr. No|||||F
OBX|4|ST|721032^MDC_IDC_SESS_CLINICIAN_CONTACT_INFORMATION^MDC||1-800-CARDIAC|||||F
OBX|5|DTM|721216^MDC_IDC_MSMT_BATTERY_DTM^MDC||201311260000-0600|||||F
OBX|6|CWE|721280^MDC_IDC_MSMT_BATTERY_STATUS^MDC||754113^MDC_IDC_ENUM_BATTERY_STATUS_B
OS^MDC|||||F
OBX|7|NM|721536^MDC_IDC_MSMT_BATTERY_REMAINING_PERCENTAGE^MDC||48%|||||F
OBX|8|ST|739536^MDC_IDC_EPISODE_ID^MDC|1|0|||||F
OBX|9|DTM|739552^MDC_IDC_EPISODE_DTM^MDC|1|20131026082822|||||F
OBX|10|CWE|739568^MDC_IDC_EPISODE_TYPE^MDC|1|754888^MDC_IDC_ENUM_EPISODE_TYPE_Epis_Oth
er^MDC|||||F
OBX|11|CWE|739600^MDC_IDC_EPISODE_VENDOR_TYPE^MDC|1|||||F
OBX|12|CWE|739584^MDC_IDC_EPISODE_TYPE_INDUCED^MDC|1|755330^MDC_IDC_ENUM_EPISODE_TYPE_
INDUCED_NO^MDC|||||F
OBX|13|NM|739712^MDC_IDC_EPISODE_DURATION^MDC|1|168430090|s|||||F
OBX|14|ST|739680^MDC_IDC_EPISODE_DETECTION_THERAPY_DETAILS^MDC|1|EPISÓDIO NÃO
TRATADO|||||F
OBX|15|ST|739536^MDC_IDC_EPISODE_ID^MDC|2|1|||||F
OBX|16|DTM|739552^MDC_IDC_EPISODE_DTM^MDC|2|20131026082822|||||F
OBX|17|CWE|739568^MDC_IDC_EPISODE_TYPE^MDC|2|754881^MDC_IDC_ENUM_EPISODE_TYPE_Epis_VF^
MDC|||||F
OBX|18|CWE|739600^MDC_IDC_EPISODE_VENDOR_TYPE^MDC|2|771073^MDC_IDC_ENUM_EPISODE_VENDOR
_TYPE_BSX-Epis_VF^MDC|||||F
OBX|19|CWE|739584^MDC_IDC_EPISODE_TYPE_INDUCED^MDC|2|755330^MDC_IDC_ENUM_EPISODE_TYPE_
INDUCED_NO^MDC|||||F
OBX|20|NM|739712^MDC_IDC_EPISODE_DURATION^MDC|2|168430090|s|||||F
OBX|21|ST|739680^MDC_IDC_EPISODE_DETECTION_THERAPY_DETAILS^MDC|2|EPISÓDIO TRATADO:
IMPEDÂNCIA DE CHOQUE= Fora de alcance POLARIDADE DE CHOQUE FINAL= PADRÃO|||||F
OBX|22|ST|739536^MDC_IDC_EPISODE_ID^MDC|3|2|||||F
OBX|23|DTM|739552^MDC_IDC_EPISODE_DTM^MDC|3|20131026082822|||||F
OBX|24|CWE|739568^MDC_IDC_EPISODE_TYPE^MDC|3|754881^MDC_IDC_ENUM_EPISODE_TYPE_Epis_VF^
MDC|||||F
OBX|25|CWE|739600^MDC_IDC_EPISODE_VENDOR_TYPE^MDC|3|771073^MDC_IDC_ENUM_EPISODE_VENDOR
_TYPE_BSX-Epis_VF^MDC|||||F
OBX|26|CWE|739584^MDC_IDC_EPISODE_TYPE_INDUCED^MDC|3|755330^MDC_IDC_ENUM_EPISODE_TYPE_
INDUCED_NO^MDC|||||F
OBX|27|NM|739712^MDC_IDC_EPISODE_DURATION^MDC|3|168430090|s|||||F
OBX|28|ST|739680^MDC_IDC_EPISODE_DETECTION_THERAPY_DETAILS^MDC|3|EPISÓDIO TRATADO:
IMPEDÂNCIA DE CHOQUE= 138 Ohms POLARIDADE DE CHOQUE FINAL= REV|||||F
```



OBX|29|ST|739536^MDC\_IDC\_EPISODE\_ID^MDC|4|3|||||F  
OBX|30|DTM|739552^MDC\_IDC\_EPISODE\_DTM^MDC|4|20131026082822|||||F  
OBX|31|CWE|739568^MDC\_IDC\_EPISODE\_TYPE^MDC|4|754888^MDC\_IDC\_ENUM\_EPISODE\_TYPE\_Epis\_Other^MDC|||||F  
OBX|32|CWE|739600^MDC\_IDC\_EPISODE\_VENDOR\_TYPE^MDC|4|||||F  
OBX|33|CWE|739584^MDC\_IDC\_EPISODE\_TYPE\_INDUCED^MDC|4|755330^MDC\_IDC\_ENUM\_EPISODE\_TYPE\_INDUCED\_NO^MDC|||||F  
OBX|34|NM|739712^MDC\_IDC\_EPISODE\_DURATION^MDC|4|168430090|s|||||F  
OBX|35|ST|739680^MDC\_IDC\_EPISODE\_DETECTION\_THERAPY\_DETAILS^MDC|4|EPISÓDIO NÃO TRATADO|||||F  
OBX|36|ST|739536^MDC\_IDC\_EPISODE\_ID^MDC|5|4|||||F  
OBX|37|DTM|739552^MDC\_IDC\_EPISODE\_DTM^MDC|5|20131026082822|||||F  
OBX|38|CWE|739568^MDC\_IDC\_EPISODE\_TYPE^MDC|5|754888^MDC\_IDC\_ENUM\_EPISODE\_TYPE\_Epis\_Other^MDC|||||F  
OBX|39|CWE|739600^MDC\_IDC\_EPISODE\_VENDOR\_TYPE^MDC|5|||||F  
OBX|40|CWE|739584^MDC\_IDC\_EPISODE\_TYPE\_INDUCED^MDC|5|755330^MDC\_IDC\_ENUM\_EPISODE\_TYPE\_INDUCED\_NO^MDC|||||F  
OBX|41|NM|739712^MDC\_IDC\_EPISODE\_DURATION^MDC|5|168430090|s|||||F  
OBX|42|ST|739680^MDC\_IDC\_EPISODE\_DETECTION\_THERAPY\_DETAILS^MDC|5|EPISÓDIO NÃO TRATADO|||||F  
OBX|43|ST|739536^MDC\_IDC\_EPISODE\_ID^MDC|6|5|||||F  
OBX|44|DTM|739552^MDC\_IDC\_EPISODE\_DTM^MDC|6|20131026082822|||||F  
OBX|45|CWE|739568^MDC\_IDC\_EPISODE\_TYPE^MDC|6|754888^MDC\_IDC\_ENUM\_EPISODE\_TYPE\_Epis\_Other^MDC|||||F  
OBX|46|CWE|739600^MDC\_IDC\_EPISODE\_VENDOR\_TYPE^MDC|6|1|||||F  
OBX|47|CWE|739584^MDC\_IDC\_EPISODE\_TYPE\_INDUCED^MDC|6|755330^MDC\_IDC\_ENUM\_EPISODE\_TYPE\_INDUCED\_NO^MDC|||||F  
OBX|48|NM|739712^MDC\_IDC\_EPISODE\_DURATION^MDC|6|168430090|s|||||F  
OBX|49|ST|739680^MDC\_IDC\_EPISODE\_DETECTION\_THERAPY\_DETAILS^MDC|6|EPISÓDIO NÃO TRATADO|||||F  
OBX|50|ST|739536^MDC\_IDC\_EPISODE\_ID^MDC|7|6|||||F  
OBX|51|DTM|739552^MDC\_IDC\_EPISODE\_DTM^MDC|7|20131026082822|||||F  
OBX|52|CWE|739568^MDC\_IDC\_EPISODE\_TYPE^MDC|7|754888^MDC\_IDC\_ENUM\_EPISODE\_TYPE\_Epis\_Other^MDC|||||F  
OBX|53|CWE|739600^MDC\_IDC\_EPISODE\_VENDOR\_TYPE^MDC|7|1|||||F  
OBX|54|CWE|739584^MDC\_IDC\_EPISODE\_TYPE\_INDUCED^MDC|7|755330^MDC\_IDC\_ENUM\_EPISODE\_TYPE\_INDUCED\_NO^MDC|||||F  
OBX|55|NM|739712^MDC\_IDC\_EPISODE\_DURATION^MDC|7|168430090|s|||||F  
OBX|56|ST|739680^MDC\_IDC\_EPISODE\_DETECTION\_THERAPY\_DETAILS^MDC|7|EPISÓDIO NÃO TRATADO|||||F  
OBX|57|ST|739536^MDC\_IDC\_EPISODE\_ID^MDC|8|7|||||F  
OBX|58|DTM|739552^MDC\_IDC\_EPISODE\_DTM^MDC|8|20131026082822|||||F  
OBX|59|CWE|739568^MDC\_IDC\_EPISODE\_TYPE^MDC|8|754888^MDC\_IDC\_ENUM\_EPISODE\_TYPE\_Epis\_Other^MDC|||||F  
OBX|60|CWE|739600^MDC\_IDC\_EPISODE\_VENDOR\_TYPE^MDC|8|1|||||F  
OBX|61|CWE|739584^MDC\_IDC\_EPISODE\_TYPE\_INDUCED^MDC|8|755330^MDC\_IDC\_ENUM\_EPISODE\_TYPE\_INDUCED\_NO^MDC|||||F  
OBX|62|NM|739712^MDC\_IDC\_EPISODE\_DURATION^MDC|8|168430090|s|||||F  
OBX|63|ST|739680^MDC\_IDC\_EPISODE\_DETECTION\_THERAPY\_DETAILS^MDC|8|EPISÓDIO NÃO TRATADO|||||F  
OBX|64|ST|739536^MDC\_IDC\_EPISODE\_ID^MDC|9|8|||||F  
OBX|65|DTM|739552^MDC\_IDC\_EPISODE\_DTM^MDC|9|20131026082822|||||F  
OBX|66|CWE|739568^MDC\_IDC\_EPISODE\_TYPE^MDC|9|754888^MDC\_IDC\_ENUM\_EPISODE\_TYPE\_Epis\_Other^MDC|||||F  
OBX|67|CWE|739600^MDC\_IDC\_EPISODE\_VENDOR\_TYPE^MDC|9|||||F  
OBX|68|CWE|739584^MDC\_IDC\_EPISODE\_TYPE\_INDUCED^MDC|9|755330^MDC\_IDC\_ENUM\_EPISODE\_TYPE\_INDUCED\_NO^MDC|||||F  
OBX|69|NM|739712^MDC\_IDC\_EPISODE\_DURATION^MDC|9|168430090|s|||||F  
OBX|70|ST|739680^MDC\_IDC\_EPISODE\_DETECTION\_THERAPY\_DETAILS^MDC|9|EPISÓDIO NÃO TRATADO|||||F  
OBX|71|CWE|737952^MDC\_IDC\_STAT\_EPISODE\_TYPE^MDC|1|754888^MDC\_IDC\_ENUM\_EPISODE\_TYPE\_Epis\_Other^MDC|||||F

OBX|72|CWE|737984^MDC\_IDC\_STAT\_EPISODE\_VENDOR\_TYPE^MDC|1|||||F  
 OBX|73|NM|738000^MDC\_IDC\_STAT\_EPISODE\_RECENT\_COUNT^MDC|1|2|||||F  
 OBX|74|DTM|738017^MDC\_IDC\_STAT\_EPISODE\_RECENT\_COUNT\_DTM\_START^MDC|1|20131125|||||F  
 OBX|75|DTM|738018^MDC\_IDC\_STAT\_EPISODE\_RECENT\_COUNT\_DTM\_END^MDC|1|20131126|||||F  
 OBX|76|NM|738032^MDC\_IDC\_STAT\_EPISODE\_TOTAL\_COUNT^MDC|1|8|||||F  
 OBX|77|DTM|738049^MDC\_IDC\_STAT\_EPISODE\_TOTAL\_COUNT\_DTM\_START^MDC|1|20131119|||||F  
 OBX|78|DTM|738050^MDC\_IDC\_STAT\_EPISODE\_TOTAL\_COUNT\_DTM\_END^MDC|1|20131126|||||F  
 OBX|79|CWE|737952^MDC\_IDC\_STAT\_EPISODE\_TYPE^MDC|2|754881^MDC\_IDC\_ENUM\_EPISODE\_TYPE\_Epi  
 s\_VF^MDC|||||F  
 OBX|80|CWE|737984^MDC\_IDC\_STAT\_EPISODE\_VENDOR\_TYPE^MDC|2|771073^MDC\_IDC\_ENUM\_EPISODE\_V  
 ENDOR\_TYPE\_BSX-Epis\_VF^MDC|||||F  
 OBX|81|NM|738000^MDC\_IDC\_STAT\_EPISODE\_RECENT\_COUNT^MDC|2|1|||||F  
 OBX|82|DTM|738017^MDC\_IDC\_STAT\_EPISODE\_RECENT\_COUNT\_DTM\_START^MDC|2|20131125|||||F  
 OBX|83|DTM|738018^MDC\_IDC\_STAT\_EPISODE\_RECENT\_COUNT\_DTM\_END^MDC|2|20131126|||||F  
 OBX|84|NM|738032^MDC\_IDC\_STAT\_EPISODE\_TOTAL\_COUNT^MDC|2|5|||||F  
 OBX|85|DTM|738049^MDC\_IDC\_STAT\_EPISODE\_TOTAL\_COUNT\_DTM\_START^MDC|2|20131119|||||F  
 OBX|86|DTM|738050^MDC\_IDC\_STAT\_EPISODE\_TOTAL\_COUNT\_DTM\_END^MDC|2|20131126|||||F  
 OBX|87|CWE|731520^MDC\_IDC\_SET\_TACHYTHERAPY\_VSTAT^MDC||754817^MDC\_IDC\_ENUM\_THERAPY\_STAT  
 US\_On^MDC|||||F  
 OBX|88|CWE|731648^MDC\_IDC\_SET\_ZONE\_TYPE^MDC|1|754945^MDC\_IDC\_ENUM\_ZONE\_TYPE\_Zone\_VF^MD  
 C|||||F  
 OBX|89|CWE|731712^MDC\_IDC\_SET\_ZONE\_VENDOR\_TYPE^MDC|1|771139^MDC\_IDC\_ENUM\_ZONE\_VENDOR\_T  
 YPE\_BSX-Zone\_VF^MDC|||||F  
 OBX|90|CWE|731776^MDC\_IDC\_SET\_ZONE\_STATUS^MDC|1|755009^MDC\_IDC\_ENUM\_ZONE\_STATUS\_Active  
 ^MDC|||||F  
 OBX|91|NM|731840^MDC\_IDC\_SET\_ZONE\_DETECTION\_INTERVAL^MDC|1|250|ms||||||F  
 OBX|92|NM|732225^MDC\_IDC\_SET\_ZONE\_SHOCK\_ENERGY\_1^MDC|1|80|J||||||F  
 OBX|93|CWE|731648^MDC\_IDC\_SET\_ZONE\_TYPE^MDC|2|754946^MDC\_IDC\_ENUM\_ZONE\_TYPE\_Zone\_VT^MD  
 C|||||F  
 OBX|94|CWE|731712^MDC\_IDC\_SET\_ZONE\_VENDOR\_TYPE^MDC|2|771137^MDC\_IDC\_ENUM\_ZONE\_VENDOR\_T  
 YPE\_BSX-Zone\_VT^MDC|||||F  
 OBX|95|CWE|731776^MDC\_IDC\_SET\_ZONE\_STATUS^MDC|2|755009^MDC\_IDC\_ENUM\_ZONE\_STATUS\_Active  
 ^MDC|||||F  
 OBX|96|ST|732032^MDC\_IDC\_SET\_ZONE\_DETECTION\_DETAILS^MDC|2|A carga SMART foi prolongada  
 por: 0.27 segundos|||||F  
 OBX|97|NM|731840^MDC\_IDC\_SET\_ZONE\_DETECTION\_INTERVAL^MDC|2|260|ms||||||F  
 OBX|98|NM|732225^MDC\_IDC\_SET\_ZONE\_SHOCK\_ENERGY\_1^MDC|2|80|J||||||F  
 OBX|99|CWE|720897^MDC\_IDC\_DEV\_TYPE^MDC||753666^MDC\_IDC\_ENUM\_DEV\_TYPE\_ICD^MDC|||||F  
 OBX|100|ST|720898^MDC\_IDC\_DEV\_MODEL^MDC||1010|||||F  
 OBX|101|ST|720899^MDC\_IDC\_DEV\_SERIAL^MDC||474|||||F  
 OBX|102|CWE|720900^MDC\_IDC\_DEV\_MFG^MDC||753732^MDC\_IDC\_ENUM\_MFG\_BSX^MDC|||||F  
 OBX|103|DTM|720901^MDC\_IDC\_DEV\_IMPLANT\_DT^MDC||20131119||T|||F  
 OBX|104|ST|720961^MDC\_IDC\_LEAD\_MODEL^MDC|1|3030|||||F  
 OBX|105|ST|720962^MDC\_IDC\_LEAD\_SERIAL^MDC|1|g032353|||||F  
 OBX|106|CWE|720963^MDC\_IDC\_LEAD\_MFG^MDC|1|753732^MDC\_IDC\_ENUM\_MFG\_BSX^MDC|||||F  
 OBX|107|CWE|720966^MDC\_IDC\_LEAD\_LOCATION^MDC|1|753861^MDC\_IDC\_ENUM\_LEAD\_LOCATION\_CHAMB  
 ER\_OTHER^MDC|||||F  
 OBX|108|CWE|720967^MDC\_IDC\_LEAD\_LOCATION\_DETAIL\_1^MDC|1|753944^MDC\_IDC\_ENUM\_LEAD\_LOCAT  
 ION\_DETAIL\_Subcutaneous^MDC|||||F  
 OBX|109|NM|737824^MDC\_IDC\_STAT\_TACHYTHERAPY\_SHOCKS\_DELIVERED\_RECENT^MDC||2|||||F  
 OBX|110|DTM|737937^MDC\_IDC\_STAT\_TACHYTHERAPY\_RECENT\_DTM\_START^MDC||20131125|||||F  
 OBX|111|DTM|737938^MDC\_IDC\_STAT\_TACHYTHERAPY\_RECENT\_DTM\_END^MDC||20131126|||||F  
 OBX|112|NM|737840^MDC\_IDC\_STAT\_TACHYTHERAPY\_SHOCKS\_DELIVERED\_TOTAL^MDC||9|||||F  
 OBX|113|DTM|737921^MDC\_IDC\_STAT\_TACHYTHERAPY\_TOTAL\_DTM\_START^MDC||20131119|||||F  
 OBX|114|DTM|737922^MDC\_IDC\_STAT\_TACHYTHERAPY\_TOTAL\_DTM\_END^MDC||20131126|||||F  
 OBX|115|ED|18750-0^Cardiac Electrophysiology Report^LN|Application^PDF^^Base64{PDF  
 codificado incluido aqui}|||||F||201311260000-0600

## Mensagem de exemplo 2—outros dispositivos (não S-ICD)



```
MSH|^~\&|LATITUDE Link|BOSTON SCIENTIFIC||The  
Clinic|201410091425+0000||ORU^R01^ORU_R01|55963301412864759434|P|2.6|||||UNICODE UTF-  
8|pt^Portuguese||IHE_PCD_009^IHE_PCD^1.3.6.1.4.1.19376.1.6.1.9.1^ISO  
PID|1||model:N118/serial:559633^^^BSX^U||TEST^SAMPLE||19530514|U  
PV1||R  
OBR|1||63|754050^MDC_IDC_ENUM_SESS_TYPE_InClinic^MDC|||201410081240|||||||||||||F  
NTE|1||Out 08, 2014 12:40 - Modo de taqui ventricular definido para outro valor  
diferente de Monitor+Terapêutica  
OBX|1|DTM|721025^MDC_IDC_SESS_DTM^MDC||201410081240|||||F  
OBX|2|CWE|721026^MDC_IDC_SESS_TYPE^MDC||754050^MDC_IDC_ENUM_SESS_TYPE_InClinic^MDC|||  
||F  
OBX|3|ST|721033^MDC_IDC_SESS_CLINIC_NAME^MDC||The Clinic|||||F  
OBX|4|DTM|721216^MDC_IDC_MSMT_BATTERY_DTM^MDC||201410081240|||||F  
OBX|5|CWE|721280^MDC_IDC_MSMT_BATTERY_STATUS^MDC||754113^MDC_IDC_ENUM_BATTERY_STATUS_B  
OS^MDC|||||F  
OBX|6|NM|721472^MDC_IDC_MSMT_BATTERY_REMAINING_LONGEVITY^MDC||54|mo|||||F  
OBX|7|NM|721536^MDC_IDC_MSMT_BATTERY_REMAINING_PERCENTAGE^MDC||81|%|||||F  
OBX|8|DTM|721664^MDC_IDC_MSMT_CAP_CHARGE_DTM^MDC|1|201409291735|||||F  
OBX|9|NM|721728^MDC_IDC_MSMT_CAP_CHARGE_TIME^MDC|1|9.5|s|||||F  
OBX|10|CWE|721856^MDC_IDC_MSMT_CAP_CHARGE_TYPE^MDC|1|754178^MDC_IDC_ENUM_CHARGE_TYPE_R  
eformation^MDC|||||F  
OBX|11|DTM|721664^MDC_IDC_MSMT_CAP_CHARGE_DTM^MDC|2|201409171216|||||F  
OBX|12|NM|721728^MDC_IDC_MSMT_CAP_CHARGE_TIME^MDC|2|0.4|s|||||F  
OBX|13|NM|721792^MDC_IDC_MSMT_CAP_CHARGE_ENERGY^MDC|2|2|J|||||F  
OBX|14|CWE|721856^MDC_IDC_MSMT_CAP_CHARGE_TYPE^MDC|2|754177^MDC_IDC_ENUM_CHARGE_TYPE_S  
hock^MDC|||||F  
OBX|15|CWE|737952^MDC_IDC_STAT_EPISODE_TYPE^MDC|1|754881^MDC_IDC_ENUM_EPISODE_TYPE_Epi  
s_VF^MDC|||||F  
OBX|16|CWE|737984^MDC_IDC_STAT_EPISODE_VENDOR_TYPE^MDC|1|771073^MDC_IDC_ENUM_EPISODE_V  
ENDOR_TYPE_BSX-Epis_VF^MDC|||||F  
OBX|17|NM|738000^MDC_IDC_STAT_EPISODE_RECENT_COUNT^MDC|1|2|||||F  
OBX|18|DTM|738017^MDC_IDC_STAT_EPISODE_RECENT_COUNT_DTM_START^MDC|1|20140603|||||F  
OBX|19|DTM|738018^MDC_IDC_STAT_EPISODE_RECENT_COUNT_DTM_END^MDC|1|20141008|||||F  
OBX|20|CWE|737952^MDC_IDC_STAT_EPISODE_TYPE^MDC|2|754882^MDC_IDC_ENUM_EPISODE_TYPE_Epi  
s_VT^MDC|||||F  
OBX|21|CWE|737984^MDC_IDC_STAT_EPISODE_VENDOR_TYPE^MDC|2|771074^MDC_IDC_ENUM_EPISODE_V  
ENDOR_TYPE_BSX-Epis_VT^MDC|||||F  
OBX|22|NM|738000^MDC_IDC_STAT_EPISODE_RECENT_COUNT^MDC|2|0|||||F  
OBX|23|DTM|738017^MDC_IDC_STAT_EPISODE_RECENT_COUNT_DTM_START^MDC|2|20140603|||||F  
OBX|24|DTM|738018^MDC_IDC_STAT_EPISODE_RECENT_COUNT_DTM_END^MDC|2|20141008|||||F  
OBX|25|CWE|737952^MDC_IDC_STAT_EPISODE_TYPE^MDC|3|754882^MDC_IDC_ENUM_EPISODE_TYPE_Epi  
s_VT^MDC|||||F  
OBX|26|CWE|737984^MDC_IDC_STAT_EPISODE_VENDOR_TYPE^MDC|3|771075^MDC_IDC_ENUM_EPISODE_V  
ENDOR_TYPE_BSX-Epis_VT-1^MDC|||||F  
OBX|27|NM|738000^MDC_IDC_STAT_EPISODE_RECENT_COUNT^MDC|3|3|||||F  
OBX|28|DTM|738017^MDC_IDC_STAT_EPISODE_RECENT_COUNT_DTM_START^MDC|3|20140603|||||F  
OBX|29|DTM|738018^MDC_IDC_STAT_EPISODE_RECENT_COUNT_DTM_END^MDC|3|20141008|||||F  
OBX|30|CWE|737952^MDC_IDC_STAT_EPISODE_TYPE^MDC|4|754885^MDC_IDC_ENUM_EPISODE_TYPE_Epi  
s_Monitor^MDC|||||F  
OBX|31|CWE|737984^MDC_IDC_STAT_EPISODE_VENDOR_TYPE^MDC|4|||||F  
OBX|32|NM|738000^MDC_IDC_STAT_EPISODE_RECENT_COUNT^MDC|4|0|||||F  
OBX|33|DTM|738017^MDC_IDC_STAT_EPISODE_RECENT_COUNT_DTM_START^MDC|4|20140603|||||F  
OBX|34|DTM|738018^MDC_IDC_STAT_EPISODE_RECENT_COUNT_DTM_END^MDC|4|20141008|||||F  
OBX|35|CWE|737952^MDC_IDC_STAT_EPISODE_TYPE^MDC|5|754888^MDC_IDC_ENUM_EPISODE_TYPE_Epi  
s_Other^MDC|||||F  
OBX|36|CWE|737984^MDC_IDC_STAT_EPISODE_VENDOR_TYPE^MDC|5|||||F  
OBX|37|NM|738000^MDC_IDC_STAT_EPISODE_RECENT_COUNT^MDC|5|0|||||F  
OBX|38|DTM|738017^MDC_IDC_STAT_EPISODE_RECENT_COUNT_DTM_START^MDC|5|20140603|||||F  
OBX|39|DTM|738018^MDC_IDC_STAT_EPISODE_RECENT_COUNT_DTM_END^MDC|5|20141008|||||F  
OBX|40|CWE|737952^MDC_IDC_STAT_EPISODE_TYPE^MDC|6|754882^MDC_IDC_ENUM_EPISODE_TYPE_Epi
```

s\_VT^MDC|||||F  
OBX|41|CWE|737984^MDC\_IDC\_STAT\_EPISODE\_VENDOR\_TYPE^MDC|6|771077^MDC\_IDC\_ENUM\_EPISODE\_V  
ENDOR\_TYPE\_BSX-EPIS\_NSVT^MDC|||||F  
OBX|42|NM|738000^MDC\_IDC\_STAT\_EPISODE\_RECENT\_COUNT^MDC|6|0|||||F  
OBX|43|DTM|738017^MDC\_IDC\_STAT\_EPISODE\_RECENT\_COUNT\_DTM\_START^MDC|6|20140603|||||F  
OBX|44|DTM|738018^MDC\_IDC\_STAT\_EPISODE\_RECENT\_COUNT\_DTM\_END^MDC|6|20141008|||||F  
OBX|45|CWE|737952^MDC\_IDC\_STAT\_EPISODE\_TYPE^MDC|7|754883^MDC\_IDC\_ENUM\_EPISODE\_TYPE\_Epi  
s\_ATAF^MDC|||||F  
OBX|46|CWE|737984^MDC\_IDC\_STAT\_EPISODE\_VENDOR\_TYPE^MDC|7|771078^MDC\_IDC\_ENUM\_EPISODE\_V  
ENDOR\_TYPE\_BSX-EPIS\_ATR^MDC|||||F  
OBX|47|NM|738000^MDC\_IDC\_STAT\_EPISODE\_RECENT\_COUNT^MDC|7|3|||||F  
OBX|48|DTM|738017^MDC\_IDC\_STAT\_EPISODE\_RECENT\_COUNT\_DTM\_START^MDC|7|20140603|||||F  
OBX|49|DTM|738018^MDC\_IDC\_STAT\_EPISODE\_RECENT\_COUNT\_DTM\_END^MDC|7|20141008|||||F  
OBX|50|ED|18750-0^Cardiac Electrophysiology Report^LN||Application^PDF^^Base64^{PDF  
codificado incluido aqui}|||||F|||201410081240  
OBX|51|CWE|731392^MDC\_IDC\_SET\_BRADY\_AT\_MODE\_SWITCH\_MODE^MDC||754778^MDC\_IDC\_ENUM\_BRADY  
\_MODE\_VDI^MDC|||||F  
OBX|52|NM|731456^MDC\_IDC\_SET\_BRADY\_AT\_MODE\_SWITCH\_RATE^MDC||170|{beats}/min|||||F  
OBX|53|NM|729344^MDC\_IDC\_SET\_CRT\_LVRV\_DELAY^MDC||0|ms|||||F  
OBX|54|CWE|729408^MDC\_IDC\_SET\_CRT\_PACED\_CHAMBERS^MDC||755267^MDC\_IDC\_ENUM\_CRT\_PACED\_CH  
AMBERS\_Biv^MDC|||||F  
OBX|55|CWE|730752^MDC\_IDC\_SET\_BRADY\_MODE^MDC||754760^MDC\_IDC\_ENUM\_BRADY\_MODE\_DDD^MDC||  
|||||F  
OBX|56|NM|730880^MDC\_IDC\_SET\_BRADY\_LOWRATE^MDC||65|{beats}/min|||||F  
OBX|57|NM|731136^MDC\_IDC\_SET\_BRADY\_MAX\_TRACKING\_RATE^MDC||115|{beats}/min|||||F  
OBX|58|NM|731265^MDC\_IDC\_SET\_BRADY\_SAV\_DELAY\_HIGH^MDC||80|ms|||||F  
OBX|59|NM|731329^MDC\_IDC\_SET\_BRADY\_PAV\_DELAY\_HIGH^MDC||130|ms|||||F  
OBX|60|CWE|731520^MDC\_IDC\_SET\_TACHYTHERAPY\_VSTAT^MDC||754818^MDC\_IDC\_ENUM\_THERAPY\_STAT  
US\_Off^MDC|||||F  
OBX|61|CWE|731648^MDC\_IDC\_SET\_ZONE\_TYPE^MDC|1|754945^MDC\_IDC\_ENUM\_ZONE\_TYPE\_Zone\_VF^MD  
C|||||F  
OBX|62|CWE|731712^MDC\_IDC\_SET\_ZONE\_VENDOR\_TYPE^MDC|1|771139^MDC\_IDC\_ENUM\_ZONE\_VENDOR\_T  
YPE\_BSX-Zone\_VF^MDC|||||F  
OBX|63|CWE|731776^MDC\_IDC\_SET\_ZONE\_STATUS^MDC|1|755011^MDC\_IDC\_ENUM\_ZONE\_STATUS\_Monito  
r^MDC|||||F  
OBX|64|NM|731840^MDC\_IDC\_SET\_ZONE\_DETECTION\_INTERVAL^MDC|1|300|ms|||||F  
OBX|65|CWE|731648^MDC\_IDC\_SET\_ZONE\_TYPE^MDC|2|754946^MDC\_IDC\_ENUM\_ZONE\_TYPE\_Zone\_VT^MD  
C|||||F  
OBX|66|CWE|731712^MDC\_IDC\_SET\_ZONE\_VENDOR\_TYPE^MDC|2|771137^MDC\_IDC\_ENUM\_ZONE\_VENDOR\_T  
YPE\_BSX-Zone\_VT^MDC|||||F  
OBX|67|CWE|731776^MDC\_IDC\_SET\_ZONE\_STATUS^MDC|2|755011^MDC\_IDC\_ENUM\_ZONE\_STATUS\_Monito  
r^MDC|||||F  
OBX|68|NM|731840^MDC\_IDC\_SET\_ZONE\_DETECTION\_INTERVAL^MDC|2|375|ms|||||F  
OBX|69|CWE|731648^MDC\_IDC\_SET\_ZONE\_TYPE^MDC|3|754946^MDC\_IDC\_ENUM\_ZONE\_TYPE\_Zone\_VT^MD  
C|||||F  
OBX|70|CWE|731712^MDC\_IDC\_SET\_ZONE\_VENDOR\_TYPE^MDC|3|771138^MDC\_IDC\_ENUM\_ZONE\_VENDOR\_T  
YPE\_BSX-Zone\_VT-1^MDC|||||F  
OBX|71|CWE|731776^MDC\_IDC\_SET\_ZONE\_STATUS^MDC|3|755011^MDC\_IDC\_ENUM\_ZONE\_STATUS\_Monito  
r^MDC|||||F  
OBX|72|NM|731840^MDC\_IDC\_SET\_ZONE\_DETECTION\_INTERVAL^MDC|3|429|ms|||||F  
OBX|73|NM|729536^MDC\_IDC\_SET\_LEADCHNL\_RA\_SENSING\_SENSITIVITY^MDC||0.25|mV|||||F  
OBX|74|CWE|729920^MDC\_IDC\_SET\_LEADCHNL\_RA\_SENSING\_ADAPTATION\_MODE^MDC||754625^MDC\_IDC\_  
ENUM\_SENSING\_ADAPTATION\_MODE\_AdaptiveSensing^MDC|||||F  
OBX|75|CWE|729600^MDC\_IDC\_SET\_LEADCHNL\_RA\_SENSING\_POLARITY^MDC||754306^MDC\_IDC\_ENUM\_PO  
LARITY\_BI^MDC|||||F  
OBX|76|NM|729537^MDC\_IDC\_SET\_LEADCHNL\_RV\_SENSING\_SENSITIVITY^MDC||0.6|mV|||||F  
OBX|77|CWE|729921^MDC\_IDC\_SET\_LEADCHNL\_RV\_SENSING\_ADAPTATION\_MODE^MDC||754625^MDC\_IDC\_  
ENUM\_SENSING\_ADAPTATION\_MODE\_AdaptiveSensing^MDC|||||F  
OBX|78|CWE|729601^MDC\_IDC\_SET\_LEADCHNL\_RV\_SENSING\_POLARITY^MDC||754306^MDC\_IDC\_ENUM\_PO  
LARITY\_BI^MDC|||||F  
OBX|79|NM|729539^MDC\_IDC\_SET\_LEADCHNL\_LV\_SENSING\_SENSITIVITY^MDC||1.0|mV|||||F  
OBX|80|CWE|729923^MDC\_IDC\_SET\_LEADCHNL\_LV\_SENSING\_ADAPTATION\_MODE^MDC||754625^MDC\_IDC\_

ENUM\_SENSING\_ADAPTATION\_MODE\_AdaptiveSensing^MDC|||||F  
 OBX|81|CWE|729676^MDC\_IDC\_SET\_LEADCHNL\_LV\_SENSING\_ANODE\_LOCATION^MDC||754498^MDC\_IDC\_ENUM\_ELECTRODE\_LOCATION\_RV^MDC|||||F  
 OBX|82|CWE|729804^MDC\_IDC\_SET\_LEADCHNL\_LV\_SENSING\_CATHODE\_LOCATION^MDC||754500^MDC\_IDC\_ENUM\_ELECTRODE\_LOCATION\_LV^MDC|||||F  
 OBX|83|CWE|729868^MDC\_IDC\_SET\_LEADCHNL\_LV\_SENSING\_CATHODE\_ELECTRODE^MDC||754561^MDC\_IDC\_ENUM\_ELECTRODE\_NAME\_Tip^MDC|||||F  
 OBX|84|NM|729984^MDC\_IDC\_SET\_LEADCHNL\_RA\_PACING\_AMPLITUDE^MDC||2.5|V|||||F  
 OBX|85|NM|730048^MDC\_IDC\_SET\_LEADCHNL\_RA\_PACING\_PULSEWIDTH^MDC||0.4|ms|||||F  
 OBX|86|CWE|730112^MDC\_IDC\_SET\_LEADCHNL\_RA\_PACING\_POLARITY^MDC||754306^MDC\_IDC\_ENUM\_POLARITY\_BI^MDC|||||F  
 OBX|87|NM|729985^MDC\_IDC\_SET\_LEADCHNL\_RV\_PACING\_AMPLITUDE^MDC||2.5|V|||||F  
 OBX|88|NM|730049^MDC\_IDC\_SET\_LEADCHNL\_RV\_PACING\_PULSEWIDTH^MDC||0.4|ms|||||F  
 OBX|89|CWE|730113^MDC\_IDC\_SET\_LEADCHNL\_RV\_PACING\_POLARITY^MDC||754306^MDC\_IDC\_ENUM\_POLARITY\_BI^MDC|||||F  
 OBX|90|NM|729987^MDC\_IDC\_SET\_LEADCHNL\_LV\_PACING\_AMPLITUDE^MDC||2.5|V|||||F  
 OBX|91|NM|730051^MDC\_IDC\_SET\_LEADCHNL\_LV\_PACING\_PULSEWIDTH^MDC||0.4|ms|||||F  
 OBX|92|CWE|730188^MDC\_IDC\_SET\_LEADCHNL\_LV\_PACING\_ANODE\_LOCATION^MDC||754498^MDC\_IDC\_ENUM\_ELECTRODE\_LOCATION\_RV^MDC|||||F  
 OBX|93|CWE|730316^MDC\_IDC\_SET\_LEADCHNL\_LV\_PACING\_CATHODE\_LOCATION^MDC||754500^MDC\_IDC\_ENUM\_ELECTRODE\_LOCATION\_LV^MDC|||||F  
 OBX|94|CWE|730380^MDC\_IDC\_SET\_LEADCHNL\_LV\_PACING\_CATHODE\_ELECTRODE^MDC||754561^MDC\_IDC\_ENUM\_ELECTRODE\_NAME\_Tip^MDC|||||F  
 OBX|95|CWE|720897^MDC\_IDC\_DEV\_TYPE^MDC||753667^MDC\_IDC\_ENUM\_DEV\_TYPE\_CRT\_D^MDC|||||F  
 OBX|96|ST|720898^MDC\_IDC\_DEV\_MODEL^MDC||N118|||||F  
 OBX|97|ST|720899^MDC\_IDC\_DEV\_SERIAL^MDC||559633|||||F  
 OBX|98|CWE|720900^MDC\_IDC\_DEV\_MFG^MDC||753732^MDC\_IDC\_ENUM\_MFG\_BSX^MDC|||||F  
 OBX|99|DTM|720901^MDC\_IDC\_DEV\_IMPLANT\_DT^MDC||20081009|||||F  
 OBX|100|DTM|721921^MDC\_IDC\_MSMT\_LEADCHNL\_RA\_DTM\_START^MDC||20141008|||||F  
 OBX|101|NM|722051^MDC\_IDC\_MSMT\_LEADCHNL\_RA\_SENSING\_INTR\_AMPL\_MEAN^MDC||3.0|mV|||||F|||20141008  
 OBX|102|CWE|722112^MDC\_IDC\_MSMT\_LEADCHNL\_RA\_SENSING\_POLARITY^MDC||754306^MDC\_IDC\_ENUM\_POLARITY\_BI^MDC|||||F  
 OBX|103|NM|722176^MDC\_IDC\_MSMT\_LEADCHNL\_RA\_PACING\_THRESHOLD\_AMPLITUDE^MDC||1.3|V|||||F|||20141008  
 OBX|104|NM|722240^MDC\_IDC\_MSMT\_LEADCHNL\_RA\_PACING\_THRESHOLD\_PULSEWIDTH^MDC||0.4|ms|||||F|||20141008  
 OBX|105|CWE|722304^MDC\_IDC\_MSMT\_LEADCHNL\_RA\_PACING\_THRESHOLD\_MEASUREMENT\_METHOD^MDC||754369^MDC\_IDC\_ENUM\_MEASUREMENT\_METHOD\_ProgrammerManual^MDC|||||F  
 OBX|106|CWE|722368^MDC\_IDC\_MSMT\_LEADCHNL\_RA\_PACING\_THRESHOLD\_POLARITY^MDC||754306^MDC\_IDC\_ENUM\_POLARITY\_BI^MDC|||||F  
 OBX|107|NM|722432^MDC\_IDC\_MSMT\_LEADCHNL\_RA\_IMPEDANCE\_VALUE^MDC||544|ohms|||||F|||20141008  
 OBX|108|CWE|722496^MDC\_IDC\_MSMT\_LEADCHNL\_RA\_IMPEDANCE\_POLARITY^MDC||754306^MDC\_IDC\_ENUM\_POLARITY\_BI^MDC|||||F  
 OBX|109|DTM|721925^MDC\_IDC\_MSMT\_LEADCHNL\_RV\_DTM\_START^MDC||20141008|||||F  
 OBX|110|NM|722055^MDC\_IDC\_MSMT\_LEADCHNL\_RV\_SENSING\_INTR\_AMPL\_MEAN^MDC||5.6|mV|||||F|||20141008  
 OBX|111|CWE|722113^MDC\_IDC\_MSMT\_LEADCHNL\_RV\_SENSING\_POLARITY^MDC||754306^MDC\_IDC\_ENUM\_POLARITY\_BI^MDC|||||F  
 OBX|112|NM|722177^MDC\_IDC\_MSMT\_LEADCHNL\_RV\_PACING\_THRESHOLD\_AMPLITUDE^MDC||1.7|V|||||F|||20141008  
 OBX|113|NM|722241^MDC\_IDC\_MSMT\_LEADCHNL\_RV\_PACING\_THRESHOLD\_PULSEWIDTH^MDC||0.4|ms|||||F|||20141008  
 OBX|114|CWE|722305^MDC\_IDC\_MSMT\_LEADCHNL\_RV\_PACING\_THRESHOLD\_MEASUREMENT\_METHOD^MDC||754369^MDC\_IDC\_ENUM\_MEASUREMENT\_METHOD\_ProgrammerManual^MDC|||||F  
 OBX|115|CWE|722369^MDC\_IDC\_MSMT\_LEADCHNL\_RV\_PACING\_THRESHOLD\_POLARITY^MDC||754306^MDC\_IDC\_ENUM\_POLARITY\_BI^MDC|||||F  
 OBX|116|NM|722433^MDC\_IDC\_MSMT\_LEADCHNL\_RV\_IMPEDANCE\_VALUE^MDC||494|ohms|||||F|||20141008  
 OBX|117|CWE|722497^MDC\_IDC\_MSMT\_LEADCHNL\_RV\_IMPEDANCE\_POLARITY^MDC||754306^MDC\_IDC\_ENUM\_POLARITY\_BI^MDC|||||F

OBX|118|DTM|721933^MDC\_IDC\_MSMT\_LEADCHNL\_LV\_DTM\_START^MDC||20141008|||||F  
 OBX|119|NM|722063^MDC\_IDC\_MSMT\_LEADCHNL\_LV\_SENSING\_INTR\_AMPL\_MEAN^MDC||mV||NAV|||F||  
 20141008  
 OBX|120|CWE|722115^MDC\_IDC\_MSMT\_LEADCHNL\_LV\_SENSING\_POLARITY^MDC||754305^MDC\_IDC\_ENUM\_  
 POLARITY\_UNI^MDC|||||F  
 OBX|121|NM|722179^MDC\_IDC\_MSMT\_LEADCHNL\_LV\_PACING\_THRESHOLD\_AMPLITUDE^MDC||1.8|V|||||F  
 |||20141008  
 OBX|122|NM|722243^MDC\_IDC\_MSMT\_LEADCHNL\_LV\_PACING\_THRESHOLD\_PULSEWIDTH^MDC||0.4|ms||||  
 |F|||20141008  
 OBX|123|CWE|722307^MDC\_IDC\_MSMT\_LEADCHNL\_LV\_PACING\_THRESHOLD\_MEASUREMENT\_METHOD^MDC||7  
 54369^MDC\_IDC\_ENUM\_MEASUREMENT\_METHOD\_ProgrammerManual^MDC|||||F  
 OBX|124|CWE|722371^MDC\_IDC\_MSMT\_LEADCHNL\_LV\_PACING\_THRESHOLD\_POLARITY^MDC||754305^MDC\_  
 IDC\_ENUM\_POLARITY\_UNI^MDC|||||F  
 OBX|125|NM|722435^MDC\_IDC\_MSMT\_LEADCHNL\_LV\_IMPEDANCE\_VALUE^MDC||604|ohms|||||F|||20141  
 008  
 OBX|126|CWE|722499^MDC\_IDC\_MSMT\_LEADCHNL\_LV\_IMPEDANCE\_POLARITY^MDC||754305^MDC\_IDC\_ENU  
 M\_POLARITY\_UNI^MDC|||||F  
 OBX|127|DTM|722560^MDC\_IDC\_MSMT\_LEADHVCHNL\_DTM\_START^MDC||1|20141008|||||F  
 OBX|128|NM|722624^MDC\_IDC\_MSMT\_LEADHVCHNL\_IMPEDANCE^MDC||1|55|ohms|||||F  
 OBX|129|CWE|722688^MDC\_IDC\_MSMT\_LEADHVCHNL\_MEASUREMENT\_TYPE^MDC||1|754433^MDC\_IDC\_ENUM\_  
 HVCHNL\_MEASUREMENT\_TYPE\_LowVoltage^MDC|||||F  
 OBX|130|DTM|737489^MDC\_IDC\_STAT\_DTM\_START^MDC||20140603|||||F  
 OBX|131|DTM|737490^MDC\_IDC\_STAT\_DTM\_END^MDC||20141008|||||F  
 OBX|132|DTM|737505^MDC\_IDC\_STAT\_BRADY\_DTM\_START^MDC||20140603|||||F  
 OBX|133|DTM|737506^MDC\_IDC\_STAT\_BRADY\_DTM\_END^MDC||20141008|||||F  
 OBX|134|NM|737520^MDC\_IDC\_STAT\_BRADY\_RA\_PERCENT\_PACED^MDC||1|%|||||F  
 OBX|135|NM|737536^MDC\_IDC\_STAT\_BRADY\_RV\_PERCENT\_PACED^MDC||100|%|||||F  
 OBX|136|DTM|737777^MDC\_IDC\_STAT\_CRT\_DTM\_START^MDC||20140603|||||F  
 OBX|137|DTM|737778^MDC\_IDC\_STAT\_CRT\_DTM\_END^MDC||20141008|||||F  
 OBX|138|NM|737792^MDC\_IDC\_STAT\_CRT\_LV\_PERCENT\_PACED^MDC||100|%|||||F  
 OBX|139|DTM|737665^MDC\_IDC\_STAT\_AT\_DTM\_START^MDC||20140605|||||F  
 OBX|140|DTM|737666^MDC\_IDC\_STAT\_AT\_DTM\_END^MDC||20141008|||||F  
 OBX|141|NM|737696^MDC\_IDC\_STAT\_AT\_BURDEN\_PERCENT^MDC||1|<|||||F  
 OBX|142|DTM|737937^MDC\_IDC\_STAT\_TACHYTHERAPY\_RECENT\_DTM\_START^MDC||20140603|||||F  
 OBX|143|DTM|737938^MDC\_IDC\_STAT\_TACHYTHERAPY\_RECENT\_DTM\_END^MDC||20141008|||||F  
 OBX|144|NM|737824^MDC\_IDC\_STAT\_TACHYTHERAPY\_SHOCKS\_DELIVERED\_RECENT^MDC||3|||||F  
 OBX|145|DTM|737921^MDC\_IDC\_STAT\_TACHYTHERAPY\_TOTAL\_DTM\_START^MDC||20081009|||||F  
 OBX|146|DTM|737922^MDC\_IDC\_STAT\_TACHYTHERAPY\_TOTAL\_DTM\_END^MDC||20141008|||||F  
 OBX|147|NM|737840^MDC\_IDC\_STAT\_TACHYTHERAPY\_SHOCKS\_DELIVERED\_TOTAL^MDC||53|||||F  
 OBX|148|NM|737856^MDC\_IDC\_STAT\_TACHYTHERAPY\_SHOCKS\_ABORTED\_RECENT^MDC||1|||||F  
 OBX|149|NM|737872^MDC\_IDC\_STAT\_TACHYTHERAPY\_SHOCKS\_ABORTED\_TOTAL^MDC||5|||||F  
 OBX|150|NM|737888^MDC\_IDC\_STAT\_TACHYTHERAPY\_ATP\_DELIVERED\_RECENT^MDC||3|||||F  
 OBX|151|NM|737904^MDC\_IDC\_STAT\_TACHYTHERAPY\_ATP\_DELIVERED\_TOTAL^MDC||35|||||F

## Definição dos símbolos utilizados neste manual

	Fabricante
	Representante autorizado na Comunidade Europeia

Outdated version. Do not use.  
Version überholt. Nicht verwenden.  
Version obsolète. Ne pas utiliser.  
Versión obsoleta. No utilizar.  
Versione obsoleta. Non utilizzare.  
Verouderde versie. Niet gebruiken.  
Föråldrad version. Använd ej.  
Παλιά έκδοση. Μην την χρησιμοποιείτε.  
Versão obsoleta. Não utilize.  
Forældet version. Må ikke anvendes.  
Zastaralá verze. Nepoužívat.  
Utdatert versjon. Skal ikke brukes.  
Zastaraná verzia. Nepoužívať.  
Elavult verzió. Ne használja!  
Wersja nieaktualna. Nie używać.

Outdated version. Do not use.  
Version überholt. Nicht verwenden.  
Version obsolète. Ne pas utiliser.  
Versión obsoleta. No utilizar.  
Versione obsoleta. Non utilizzare.  
Verouderde versie. Niet gebruiken.  
Föråldrad version. Använd ej.  
Παλιά έκδοση. Μην την χρησιμοποιείτε.  
Versão obsoleta. Não utilize.  
Forældet version. Må ikke anvendes.  
Zastaralá verze. Nepoužívat.  
Utdatert versjon. Skal ikke brukes.  
Zastaraná verzia. Nepoužívať.  
Elavult verzió. Ne használja!  
Wersja nieaktualna. Nie używać.



Outdated version. Do not use.  
Version überholt. Nicht verwenden.  
Version obsolète. Ne pas utiliser.  
Versión obsoleta. No utilizar.  
Versione obsoleta. Non utilizzare.  
Verouderde versie. Niet gebruiken.  
Föråldrad version. Använd ej.  
Παλιά έκδοση. Μην την χρησιμοποιείτε.  
Versão obsoleta. Não utilize.  
Forældet version. Må ikke anvendes.  
Zastaralá verze. Nepoužívat.  
Utdatert versjon. Skal ikke brukes.  
Zastaraná verzia. Nepoužívať.  
Elavult verzió. Ne használja!  
Wersja nieaktualna. Nie używać.

# Boston Scientific



Boston Scientific  
4100 Hamline Avenue North  
St. Paul, MN 55112-5798 USA

1.800.CARDIAC (227.3422)  
+1.651.582.4000

[www.bostonscientific.com](http://www.bostonscientific.com)



Guidant Europe NV/SA  
Boston Scientific  
Green Square,  
Lambroekstraat 5D  
1831 Diegem, Belgium

1.800.CARDIAC (227.3422)  
+1.651.582.4000

[www.bostonscientific.com](http://www.bostonscientific.com)

© 2014 Boston Scientific Corporation or its affiliates.  
All rights reserved.

359384-007 PT 2014-08

